

$$= \int \mathcal{D}\bar{\psi} \mathcal{D}\psi \exp \left\{ \int dt \left[ -\bar{\psi} D_F^{-1} \psi \right] + \lambda \int dt \left[ \bar{\psi} \eta + \bar{\eta} \psi \right] \right\}$$

$$\therefore Z[\eta, \bar{\eta}] = Z[0, 0] \exp \left\{ - \int ds dz \bar{\eta}(s) D_F(s, z) \eta(z) \right\} \quad (\text{eq. 139.1})$$

$$D_F(s, z) = \left[ -\lambda (i \partial_t - \omega) \right]^{-1} = \lambda \int \frac{dE}{2\pi} \frac{e^{-iE(s-z)}}{E - \omega + i\epsilon} = \Theta(s-z) e^{-i\omega(s-z)} \quad (\text{eq. 139.2})$$

Note que: (1) Temos apenas um polo, em  $E = \omega - i\epsilon$

(2) Isso significa que se fizemos a integral no hemisfério superior ( $\text{Im } E > 0$ ) ela dá zero, e somos forçados a fazer isso se ( $s < \tau$ ), portanto a integral é zero para ( $s < \tau$ ). No outro hemisfério (obrigatório se  $s > \tau$ ) pegamos o polo e obtemos o resultado não nulo acima.

$$-iE(s-z) \sim \text{Im}(E)(s-z)$$

(3) Basta substituir a última expressão em 139.1 para obter 138.3 (incluindo o limite de integração, que impõe  $s > \tau$ )

Passando para o espaço Euclidiano:  $\tau = -i t_E$

$$Z_E[\eta, \bar{\eta}] = \int \mathcal{D}\bar{\psi} \mathcal{D}\psi \exp \left\{ \int dt_E \bar{\psi}_E (-\partial_{t_E} - \omega) \psi_E + \int dt_E \bar{\psi}_E \eta_E + \bar{\eta}_E \psi_E \right\}$$

suprimindo o "E"

$$= Z[0, 0] \exp \left\{ \int dz ds \bar{\eta}(s) D(s, z) \eta(z) \right\}$$

$$-S_E = -\bar{\psi} \cdot D^{-1} \psi + \bar{\psi} \cdot \eta + \bar{\eta} \cdot \psi \quad (\text{eq. 139.3})$$

$$D[s, z] = (\partial_t + \omega)^{-1} = \lambda \int \frac{dE}{2\pi} \frac{e^{-iE(s-z)}}{E + i\omega} \quad (\text{eq. 139.4})$$

E rodando de volta para Minkowski com  $E_E = (-i + \epsilon) E$  (para evitar o polo), voltamos ao propagador em 139.2

Agora basta aumentar o número de coordenadas espaciais para obter uma teoria de campo. A lagrangeana (em Mink.) é:

$$\mathcal{L}_F^{(M)} = \bar{\psi} (i \not{\partial} - m) \psi$$

Passando para o Euclideoano:

$$\mathcal{L}_F^{(E)} = \bar{\Psi}_E (\not{\partial} + m) \Psi_E$$

Tomando o cuidado de manter a álgebra de Clifford funcionando:  $\{\gamma^\mu, \gamma^\nu\} = 2g^{\mu\nu}$

$$(\gamma^0)^2 = 1 \quad (\gamma^i)^2 = -1$$

$$\boxed{\gamma_E^0 = \gamma^0}$$

$$\hookrightarrow (\gamma_E^i)^2 = 1 \Rightarrow \gamma_E^i = -i \gamma^i$$

$$\rightarrow \bar{\Psi} = \Psi^\dagger \gamma^0 = \Psi^\dagger \gamma_E^0$$

$$\Psi_E(x_E) = \Psi(-i t_E, \vec{x})$$

E, nesta representação:  $\gamma_\mu = \gamma^\mu = (\gamma^\mu)^\dagger$

A função de partição obtida é:

$$\mathcal{Z}_F^{(E)}[\bar{\eta}, \eta] = \int \mathcal{D}\bar{\Psi} \mathcal{D}\Psi \exp \left\{ - \int d^4x \bar{\Psi} (\not{\partial} + m) \Psi + \int d^4x (\bar{\eta} \Psi + \bar{\Psi} \eta) \right\} = \tag{eq. 140.1}$$

$$= Z(0,0) e^{\bar{\eta} (\not{\partial} + m)^{-1} \eta}$$

Atenção para o índice Espinorial:  
 $\int d^4x \bar{\eta} \Psi = \int d^4x \bar{\eta}_\alpha(x) \Psi_\alpha(x)$   
 $\bar{\eta} (\not{\partial} + m)^{-1} \eta = \int d^4x d^4y \bar{\eta}_\alpha(x) (\not{\partial} + m)^{-1}_{\alpha\beta} \eta_\beta(y)$   
 $\alpha=1,2,3,4$

$$S_F(x, y) = (\not{\partial}_x + m)^{-1} = i \int \frac{d^4p}{(2\pi)^4} \frac{e^{i p \cdot (x-y)}}{-\not{p} + i m}$$

(eq. 140.2)

$$(\not{\partial}_x + m) S_F(x, y) = \delta^4(x-y) \quad \because \not{\partial}_x e^{i p x} = i \not{p} e^{i p x}$$

Usaremos com frequência a seguinte relação:

$$\frac{1}{-\not{p} + i m} = \frac{-\not{p} - i m}{p^2 + m^2} = \frac{-\not{p}_{\alpha\beta} - i m \uparrow_{\alpha\beta}}{p^2 + m^2}$$

$$\not{p} \not{p} = \gamma^\mu p_\mu \gamma^\nu p_\nu = 2 g^{\mu\nu} p_\mu p_\nu - \underbrace{\gamma^\mu \gamma^\nu p_\mu p_\nu}_{\gamma^\nu \gamma^\mu p_\nu p_\mu} \Rightarrow 2 p^2 = 2 \not{p} \not{p}$$

$$\boxed{\gamma^\mu \gamma^\nu + \gamma^\nu \gamma^\mu = 2 g^{\mu\nu}}$$

Voltando para Minkowski, obtemos:

$$S_F^{(E)}(x, y) = i \int \frac{d^4p}{(2\pi)^4} \frac{e^{i p \cdot (x-y)}}{-\not{p} + i m} = i \int \frac{d^4p}{(2\pi)^4} \frac{-\not{p} - i m}{p^2 + m^2} e^{i p \cdot (x-y)}$$

$$p_E^0 x_E^0 = -i p^0 \dot{x}^0 = p^0 x_0$$

$$t_E = i t \quad p_E^0 = (-i + \epsilon) p^0 \quad p_E^2 + m^2 = -p^2 + m^2 - i\epsilon$$

$$p_E^\mu = \gamma_\mu^0 p_E^0 + \gamma_\mu^i p^i = \gamma^0 (-i + \epsilon) p^0 - i \gamma^i p^i = -\gamma^0 p^0 - i \vec{\gamma} \cdot \vec{p} + \epsilon \gamma^0$$

$$S_F^{(M)}(x, y) = \int \frac{d^4 p}{(2\pi)^4} e^{i[p^0(x^0 - y^0) + p^i(x^i - y^i)]} \frac{+ \gamma^0 p^0 + i \vec{\gamma} \cdot \vec{p} - i m}{-p^2 + m^2 - i\epsilon} =$$

$$\stackrel{p_0 \rightarrow -p_0}{=} \int \frac{d^4 p}{(2\pi)^4} e^{-i p(x - y)} \frac{i(\not{p} + m)}{p^2 - m^2 + i\epsilon}$$

### Teorema de Wick para Campos Fermiônicos

Como um exemplo, consideremos uma teoria com um escalar  $\phi$  (com fonte  $J$ ) e um férmion  $\psi$ , interagindo por meio de um termo  $S_I[\bar{\psi}, \psi, \phi]$ , neste caso poderíamos escrever:

$$Z[\bar{\eta}, \eta, J] = e^{-S_I\left[-\frac{\delta}{\delta \eta}, \frac{\delta}{\delta \bar{\eta}}, \frac{\delta}{\delta J}\right]} Z_F^{(0)}[\bar{\eta}, \eta] Z_\phi^{(0)}[J] \quad (\text{eq. 141.1})$$

que é obtida segundo exatamente o mesmo procedimento usado na pag 110. A única diferença está no termo  $-\frac{\delta}{\delta \eta}$  que tem este sinal pois o termo de fonte tem a forma:  $\bar{\eta} \psi + \bar{\psi} \eta$

$$\text{Logo: } \psi e^{\int d^4x \bar{\eta} \psi + \bar{\psi} \eta} = - \int \frac{\delta}{\delta \eta} e^{\int d^4x \bar{\eta} \psi + \bar{\psi} \eta}$$

O lema de Coleman (eq. 115.2) também ganha um sinal pelo mesmo motivo:

$$F\left(-\frac{\delta}{\delta \eta}, \frac{\delta}{\delta \bar{\eta}}\right) Z[\bar{\eta}, \eta] = Z\left[-\frac{\delta}{\delta \psi}, \frac{\delta}{\delta \bar{\psi}}\right] \left( F(\bar{\psi}, \psi) e^{\bar{\psi} \eta + \bar{\eta} \psi} \right)_{\bar{\psi} = \psi = 0} \quad (\text{eq. 141.2})$$

$$Z[\bar{\eta}, \eta, J] = e^{-S_I\left(-\frac{\delta}{\delta \eta}, \frac{\delta}{\delta \bar{\eta}}, \frac{\delta}{\delta J}\right)} e^{\bar{\eta} S_F \eta} Z_\phi^{(0)}[J] =$$

(eq. 141.3)

$$= e^{-\frac{\delta}{\delta \psi} S_F \frac{\delta}{\delta \bar{\psi}}} e^{-S_I(\bar{\psi}, \psi, \frac{\delta}{\delta J}) + \bar{\psi} \cdot \eta + \bar{\eta} \cdot \psi} Z_\phi^{(0)}[J] \Big|_{\psi = \bar{\psi} = J = 0} =$$

$$= e^{-\frac{\delta}{\delta \psi} S_F \frac{\delta}{\delta \bar{\psi}}} e^{\frac{1}{2} \frac{\delta}{\delta \phi} \Delta \frac{\delta}{\delta \phi}} \left\{ e^{-S_I(\bar{\psi}, \psi, \phi) + \bar{\psi} \cdot \eta + \bar{\eta} \cdot \psi + J \cdot \phi} \right\}_{\psi = \bar{\psi} = \phi = 0}$$

Regras de Feynman para Férmions (Interação de Yukawa)

$$\mathcal{L}_Y = g \bar{\Psi} \Psi \phi$$

$$Z[\bar{\eta}, \eta, J] = e^{-\frac{\delta}{\delta \Psi} S_F \frac{\delta}{\delta \bar{\Psi}}} e^{\frac{1}{2} \frac{\delta}{\delta \phi} \Delta \frac{\delta}{\delta \phi}} \left\{ e^{-g \int d^4x \bar{\Psi} \Psi \phi + \bar{\eta} \cdot \eta + \bar{\eta} \cdot \Psi + J \cdot \phi} \right\}_{\Psi = \bar{\Psi} = \phi = 0}$$

Começemos com a função de dois pontos livre (onde os dois pontos são aplicações do campo fermiônico):

$G_{(n,m)}^{(N)}$   
 ↳ ordem na expansão perturbativa  
 ↳ numero de pontos externos bosônicos  
 ↳ numero de pontos externos fermiônicos

$$G_{(2,0)}^{(0)} = \langle 0 | \psi(x) \bar{\psi}(y) | 0 \rangle = \frac{\delta}{\delta \bar{\eta}(x)} \left( - \frac{\delta}{\delta \eta(y)} \right) Z_0(\bar{\eta}, \eta, J) \Big|_{\eta = \bar{\eta} = J = 0}$$

note que, trivialmente, temos  $\langle 0 | \psi \psi | 0 \rangle = \langle 0 | \bar{\psi} \bar{\psi} | 0 \rangle = 0$

$$Z_0[\bar{\eta}, \eta, J] = e^{-\frac{\delta}{\delta \Psi} S_F \frac{\delta}{\delta \bar{\Psi}}} e^{\frac{1}{2} \frac{\delta}{\delta \phi} \Delta \frac{\delta}{\delta \phi}} \left\{ e^{-g \int d^4x \bar{\Psi} \Psi \phi + \bar{\eta} \cdot \eta + \bar{\eta} \cdot \Psi + J \cdot \phi} \right\}_{\Psi = \bar{\Psi} = \phi = 0}$$

↳ Só estou interessado na parte que contribui para  $G_{(2,0)}^{(0)}$  ou seja com  $\eta \cdot \bar{\eta}$

$$= - \frac{\delta}{\delta \Psi} S_F \frac{\delta}{\delta \bar{\Psi}} e^{\bar{\eta} \cdot \eta + \bar{\eta} \cdot \Psi} = \bar{\eta} \cdot S_F \cdot \eta e^{\bar{\eta} \cdot \eta} \Big|_{\bar{\Psi} = \Psi = 0} = \bar{\eta} \cdot S_F \cdot \eta$$

$$G_{(2,0)}^{(0)} = \frac{\delta}{\delta \bar{\eta}(x)} \left( - \frac{\delta}{\delta \eta(y)} \right) \bar{\eta} \cdot S_F \cdot \eta = \int d^4z_1 d^4z_2 \frac{\delta}{\delta \bar{\eta}(x)} \bar{\eta}(z_1) S_F(z_1 - z_2) \delta_{z_1} \frac{\delta}{\delta \eta(y)} \eta(z_2) = S_F(x - y)_{\alpha\beta}$$

$\delta^4(y - z_2) \delta_{\beta\gamma}$

$$= S_F(x - y)_{\alpha\beta} = i \int \frac{d^4p}{(2\pi)^4} \left( \frac{e^{i p \cdot (x - y)}}{-\not{p} + m} \right)_{\alpha\beta}$$

(eq. 142.1)

Note que agora o sinal do momento (ou a ordem de x e y) importa!

A regra para o vértice vem trivialmente da função de três pontos:

$$G_{(3,1)}^{(1)} = \frac{\delta}{\delta \bar{\eta}(x)} \left( - \frac{\delta}{\delta \eta(y)} \right) \frac{\delta}{\delta J(z)} e^{-\frac{\delta}{\delta \Psi} S_F \frac{\delta}{\delta \bar{\Psi}}} e^{\frac{1}{2} \frac{\delta}{\delta \phi} \Delta \frac{\delta}{\delta \phi}} \left\{ e^{-g \int d^4x \bar{\Psi} \Psi \phi + \bar{\eta} \cdot \eta + \bar{\eta} \cdot \Psi + J \cdot \phi} \right\}_{\Psi = \bar{\Psi} = \phi = 0}$$

↳ índice espinoriais subentendidos

$$= e^{-\frac{\delta}{\delta\psi} S_F \frac{\delta}{\delta\psi}} e^{\frac{1}{2} \frac{\delta}{\delta\phi} \Delta \frac{\delta}{\delta\phi}} \left\{ \phi(z) \psi(x) \bar{\psi}(y) \underbrace{e^{-g \int d^4w \bar{\psi}(w) \psi(w) \phi(w)}}_{\text{só quero o termo } O(g^1)} \right\} =$$

$$= e^{-\frac{\delta}{\delta\psi} S_F \frac{\delta}{\delta\psi}} e^{\frac{1}{2} \frac{\delta}{\delta\phi} \Delta \frac{\delta}{\delta\phi}} (-g) \phi(z) \psi(x) \bar{\psi}(y) \int d^4w \bar{\psi}(w) \psi(w) \phi(w) =$$

índice espinoriais subentendidos

$$= -g \int d^4w \Delta(z-w) \frac{1}{2} \left( -\frac{\delta}{\delta\psi} S_F \frac{\delta}{\delta\psi} \right) \left( -\frac{\delta}{\delta\psi} S_F \frac{\delta}{\delta\psi} \right) \psi(x) \bar{\psi}(y) \bar{\psi}(w) \psi(w) =$$

$$\left( -\frac{\delta}{\delta\psi} S_F \frac{\delta}{\delta\psi} \right) \psi(x) \bar{\psi}(y) \bar{\psi}(w) \psi(w) =$$

$$= \int d^4z_1 d^4z_2 \left( -\frac{\delta}{\delta\psi(z_1)} S_F(z_1 - z_2) \right) \left[ -\psi(x) \delta(z_2 - y) \delta_{\alpha\beta} \bar{\psi}(w) \psi(w) + \psi(x) \bar{\psi}(y) \delta(w - z_2) \delta_{\beta\alpha} \psi(w) \right] =$$



Não quero o diagrama de bolha no vácuo:

$$= \int d^4z_1 d^4z_2 \left( -S_F(z_1 - z_2) \right) \left[ -\psi(x) \delta(z_2 - y) \bar{\psi}(w) \delta(z_1 - w) \delta_{\alpha\beta} \delta_{\beta\alpha} + \delta(x - z_1) \bar{\psi}(y) \delta(w - z_2) \psi(w) \delta_{\alpha\beta} \delta_{\beta\alpha} \right] + \text{BOLHAS}$$

$$= +S_F(w - y)_{\beta\alpha} \psi(x) \bar{\psi}(w) - S_F(x - w)_{\alpha\beta} \bar{\psi}(y) \psi(w) + \text{BOLHAS}$$

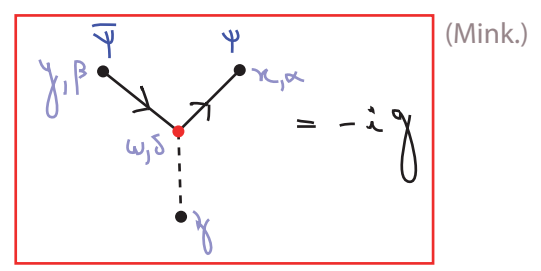
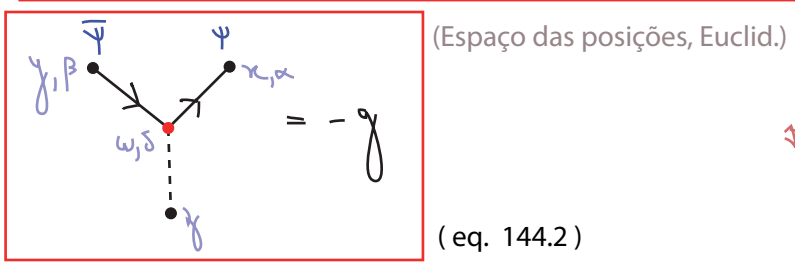
$$= -g \int d^4w \Delta(z-w) \frac{1}{2} \int d^4z_3 d^4z_4 \left( -\frac{\delta}{\delta\psi(z_3)} S_F(z_3 - z_4) \cdot \frac{\delta}{\delta\psi(z_4)} \right) \left[ +S_F(w - y) \psi(x) \bar{\psi}(w) - S_F(x - w) \bar{\psi}(y) \psi(w) \right] =$$

$$= -g \int d^4w \Delta(z-w) \frac{1}{2} \int d^4z_3 d^4z_4 \left( -\frac{\delta}{\delta\psi(z_3)} S_F(z_3 - z_4) \right) \left[ -S_F(w - y) \psi(x) \delta(w - z_4) - S_F(x - w) \delta(y - z_4) \psi(w) \right] =$$

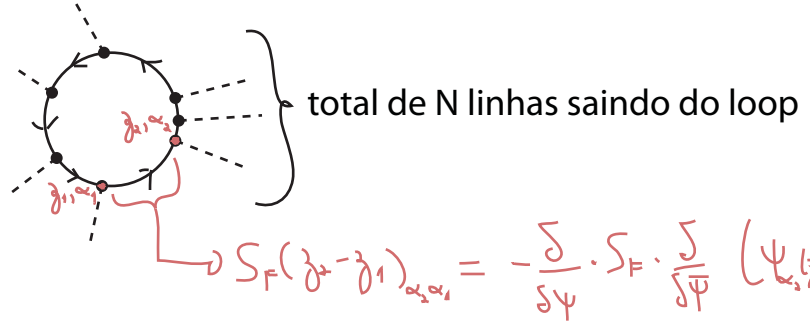
$$= -g \int d^4w \Delta(z-w) \frac{1}{2} \int d^4z_3 d^4z_4 \left( -S_F(z_3 - z_4) \right) \left[ -S_F(w - y) \delta(x - z_3) \delta(w - z_4) - S_F(x - w) \delta(y - z_4) \delta(w - z_3) \right] =$$

$$= -g \int d^4w \Delta(z-w) \frac{1}{2} \left[ S_F(x - w)_{\alpha\beta} S_F(w - y)_{\beta\alpha} + S_F(w - y)_{\beta\alpha} S_F(x - w)_{\alpha\beta} \right] =$$

$$G_{(2,1)}^{(1)} = -g \int d^4\omega \Delta(\gamma-\omega) S_F(x-\omega) S_F(\omega-\gamma) \quad (\text{eq. 144.1})$$



A importância do ordenamento do campo fermiônico cria uma importante diferença entre um loop fermiônico e um loop bosônico, pense no seguinte diagrama:



Temos vários termos deste tipo:

$$\left(-\frac{\delta}{\delta\psi} \cdot S_F \cdot \frac{\delta}{\delta\bar{\psi}}\right) \dots \left(-\frac{\delta}{\delta\psi} \cdot S_F \cdot \frac{\delta}{\delta\bar{\psi}}\right) \left( (\bar{\psi}\psi)_1 \dots (\bar{\psi}\psi)_N \right) \leftrightarrow (\bar{\psi}\psi)_i = \bar{\psi}(z_i) \psi(z_i)$$

note que estes vêm todos da interação, por isso a ordem  $\bar{\psi}\psi$

Para obter a combinação cíclica (já que é um loop):

$$S_F(z_N-z_1)_{\alpha_N\alpha_1} S_F(z_1-z_2)_{\alpha_1\alpha_2} \dots S_F(z_{N-1}-z_N)_{\alpha_{N-1}\alpha_N} = \text{Tr} \left[ S_F(z_1-z_2) \dots S_F(z_{N-1}-z_N) \right]$$

(loops de férmions geram traços)

temos que trazer o último campo para a primeira posição e então aplicar as derivadas:

$$\left( (\bar{\psi}\psi)_1 \dots (\bar{\psi}\psi)_N \right) = -\psi(z_N) (\bar{\psi}\psi)_1 \dots (\bar{\psi}\psi)_{N-1} \psi_N(z_N)$$

passo por 2N-1 campos

De onde vemos que, além de qualquer sinal que venha dos vértices  $(-g)^N$ , temos uma regra de Feynman nova, devemos multiplicar por sinal total negativo toda vez que aparecer um loop fermiônico. Você pode checar, por exemplo que o mesmo loop gerado em uma teoria  $\lambda\phi^3$  não tem sinal algum além do que vem dos vértices.



Regras de Feynman para interação de Yukawa: